

9

И Н С Т И Т У Т
ЯДЕРНОЙ ФИЗИКИ СОАН СССР

И Я Ф 16 - 71

В.Н.Байер, В.С.Фадин

ПРОЦЕСС ЭЛЕКТРОРОЖДЕНИЯ ПАР
В ОПЫТАХ НА ВСТРЕЧНЫХ ПУЧКАХ

Новосибирск

1971

В.Н.Байер, В.С.Фадин

ПРОЦЕСС ЭЛЕКТРОРОЖДЕНИЯ ПАР В ОПЫТАХ

НА ВСТРЕЧНЫХ ПУЧКАХ

АННОТАЦИЯ

Сечение образования пар частиц при столкновении электрона и позитрона (электрона) высокой энергии вычислено с однологарифмической точностью. Процесс электророждения на встречных пучках обсуждается в связи с современной экспериментальной ситуацией.

$$\frac{d\sigma}{dp} = \frac{e^2}{2m_e c^2} \left[\frac{g_1^2}{2} \ln \left(\frac{p^2 + p_{cr}^2}{p^2 - p_{cr}^2} \right) + g_2^2 \left(\frac{p^2 - p_{cr}^2}{p^2 + p_{cr}^2} \right)^2 + g_3^2 \left(\frac{p^2 - p_{cr}^2}{p^2 + p_{cr}^2} \right)^3 + g_4^2 \left(\frac{p^2 - p_{cr}^2}{p^2 + p_{cr}^2} \right)^4 + g_5^2 \left(\frac{p^2 - p_{cr}^2}{p^2 + p_{cr}^2} \right)^5 + g_6^2 \left(\frac{p^2 - p_{cr}^2}{p^2 + p_{cr}^2} \right)^6 + g_7^2 \left(\frac{p^2 - p_{cr}^2}{p^2 + p_{cr}^2} \right)^7 \right]$$

где $e = 1.6 \cdot 10^{-19}$ кулоны, $m_e = 9.1 \cdot 10^{-31}$ кг, $c = 3 \cdot 10^8$ м/с
(квант) единичной частицы, $p_{cr} = m_e c^2 / (4 \pi^2 \rho_{cr}^2)$ единичная кинетическая энергия.

PROCESS OF PAIR ELECTROPRODUCTION IN
COLLIDING BEAMS EXPERIMENTS

V.N.Baier, V.S.Fadin

A b s t r a c t

Cross section of pair production in collision of high energy electron and positron (electron) is calculated in one-logarithmic approximation. Process of electroproduction with colliding beams has been discussed in connection with to day experimental situation.

Процесс электророждения в опытах на встречных пучках

$(e^{\pm} + e^- \rightarrow e^{\pm} + e^- + \gamma)$ многократно обсуждался в последнее время, в частности на Киевской конференции / 1-3 /. В области реальных энергий (в обозримом будущем $\epsilon < 5$ ГэВ) будут, не-видимому, доминировать процессы электророждения пар ($\pi^+\pi^-$, K^+K^- и т.д.), которые наиболее просто поддаются теоретическому анализу (процесс электророждения e^+e^- пары на большие углы наблюдался недавно при $\epsilon = 500$ МэВ в Новосибирске / 4, 5 /). Для оценки полных сечений в / 1, 2 / использованы варианты метода эквивалентных фотонов, а в / 3 / аналитические выражения для сечений в случае произвольных масс вычислены в дваждылогарифмическом приближении. В настоящей работе проведен более полный анализ процесса электророждения пар с тем, чтобы сопоставить его с результатами последних опытов на встречных пучках.

В нашем порядке теории возмущений по электромагнитному взаимодействию процесс электророждения представляется двумя типами диаграмм: 1) конечные состояния рождаются двумя фотонами (двухфотонные); 2) конечные состояния рождаются одним фотоном (тормоанные). К этим же типам принадлежат обменные (для e^+e^- - соударений) и анигиляционные (для e^+e^- - соударений) диаграммы, которые мы рассмотрим отдельно.

Вклад двухфотонных диаграмм является доминирующим, с однологарифмической точностью при $\epsilon \gg \mu$ он имеет вид:

$$\sigma_{\text{III}}^{(S_f)} = \frac{\alpha^4}{2\pi\mu^2} \left[g_1^{(S_f)} L_p \left(L^2 - \frac{L_p^2}{3} \right) - g_2^{(S_f)} \left(L^2 - L_p^2 \right) - g_3^{(S_f)} L L_p + g_4^{(S_f)} L + g_5^{(S_f)} L_p \right] \quad (1)$$

где $L = \ln(4\epsilon^2/m^2)$, $L_p = \ln(4\epsilon^2/\mu^2)$, $\epsilon(m)$ энергия (масса) начальной частицы, $\mu(S_f)$ - масса (спин) частиц рождающейся пары,

$$g_1^{(0)} = 6, \quad g_2^{(0)} = 51/2, \quad g_3^{(0)} = 19,$$

$$g_4^{(0)} = \frac{569}{6} - 4\pi^2, \quad g_5^{(0)} = -\frac{979}{6} + \pi^2; \quad (2)$$

$$g_1^{(1/2)} = 42, \quad g_2^{(1/2)} = 192, \quad g_3^{(1/2)} = 178,$$

$$g_4^{(1/2)} = \frac{5255}{6} - 28\pi^2, \quad g_5^{(1/2)} = -\frac{6925}{6} + 7\pi^2$$

Сечение $\sigma_{\text{II}}^{(S_3)}$ приведено на рис., где учтены также члены, содержащие μ/ϵ . При высоких энергиях ($\epsilon > 3$ ГэВ для μ , π мезонов) применима непосредственно (1). Существенно, что в (1) кубичные по μ , μ_p члены в значительной мере компенсируются квадратичными (при $\epsilon = 5$ ГэВ сечение $\sigma_{\text{II}}^{(0)}$ в два раза меньше, чем кубический член^x). В довольно широкой области у порога ($\epsilon \lesssim 5\mu$) разложение сечения по степеням μ , μ_p не является адекватным (так же, как в задаче фоторождения), впрочем в этой области сечения малы. В случае рождения π , K мезонов сечение $\sigma_{\text{II}}^{(0)}$ следует рассматривать как модельное, т.к. в нём учтён только борновский член. Однако, поскольку основной вклад даёт область, где инвариантная масса родившейся пары $\Delta^2 = (p_+ + p_-)^2 \sim 4\mu^2$, то вполне возможно, что этот член удовлетворительно описывает физическую ситуацию. Большой интерес представляет исследование взаимодействия между родившимися адронами в конечном состоянии (C -чётное, $C = +1$), информацию о котором можно получить из сравнения наблюдаемого сечения с вычисленным при фиксированном Δ^2 , для которого опуская члены, линейные по μ_p имеем:

^x) Приведенное в /2/ сечение $\sigma_{\text{II}}^{(0)}$ соответствует члену $\mu_p \mu^2$ в (1) и имеет неправильный численный коэффициент. Сечения σ_{II} для $\mu^+\mu^-$, $\pi^+\pi^-$, изображенные на рис., отличаются от соответствующих сечений в /2/ в 1,5 - 2,5 раза.

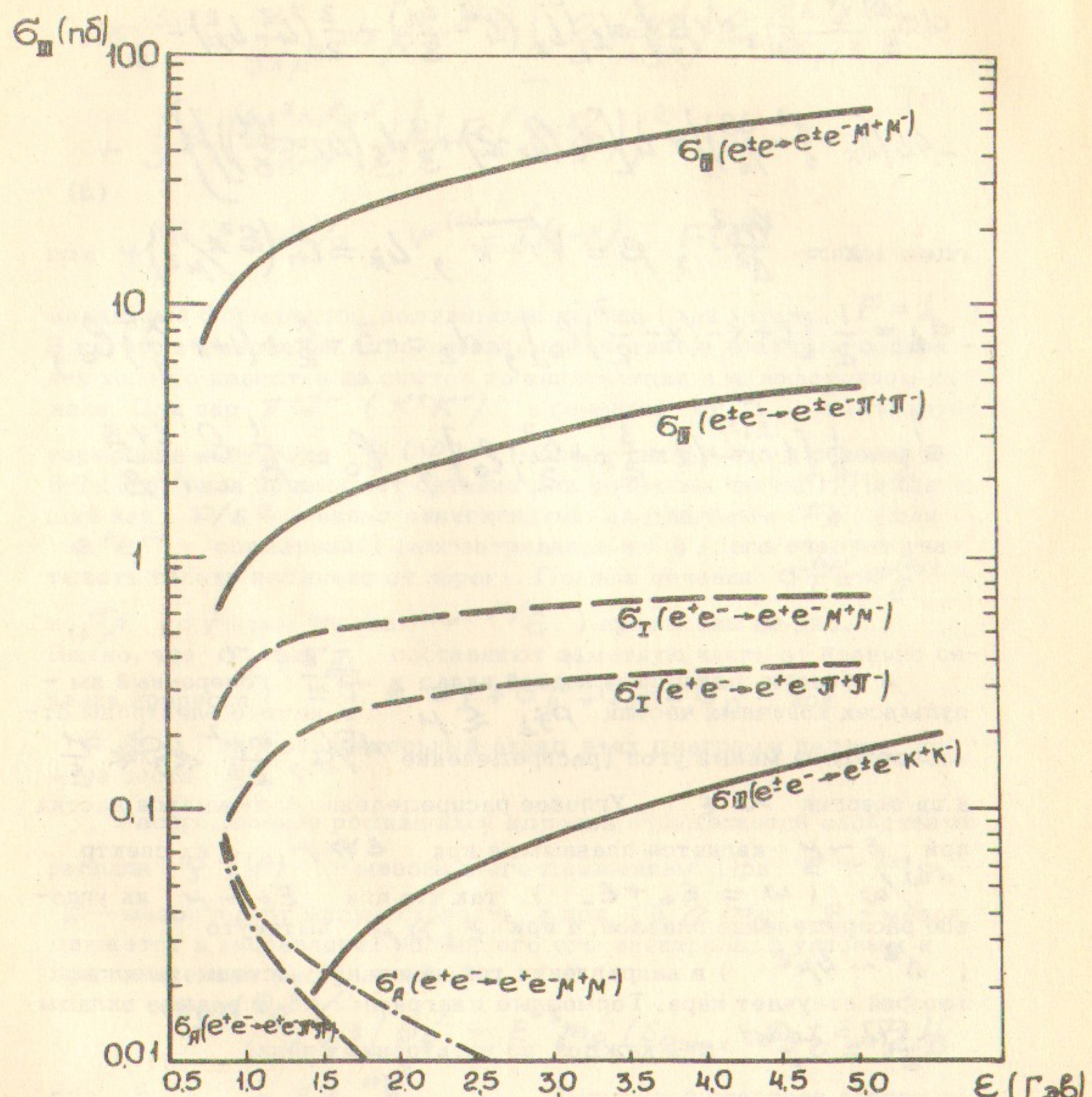


Рис.

$$d\sigma_{\text{III}}^{(0)} = \frac{\alpha^4}{\pi\mu^2} dx \beta \left\{ d_1 \left[L_x \left(L^2 - \frac{L_x^2}{3} \right) - \frac{3}{2} (L^2 - L_x^2) - 4L \left(L_x + \frac{\pi^2}{6} - \frac{39}{16} \right) \right] + 4 \left[d_2 (L_x - 2) + \frac{2}{3} d_3 \left(L_x - \frac{11}{6} \right) \right] \right\} \quad (3)$$

где $x = \frac{4\mu^2}{\Delta^2}$, $\beta = \sqrt{1-x}$, $L_x = \ln(\epsilon^2 x / \mu^2)$

$$d_1 = \frac{1}{2} \left[1+x - \left(x - \frac{x^2}{2} \right) \ell_0 \right], \quad d_2 = -3 - \frac{x}{2} + \left(1+x - \frac{x^2}{4} \right) \ell_0,$$

$$d_3 = \frac{1}{2} \left[1-x - \left(1 - \frac{3}{2}x + \frac{x^2}{2} \right) \ell_0 \right], \quad \ell_0 = \frac{1}{\beta} \ln \frac{1+\beta}{1-\beta}$$

(4)

В области, дающей основной вклад в $\sigma_{\text{III}}^{(0)}$ поперечный импульс всех конечных частиц $P_{fL} \lesssim \mu$, конечные электроны отклоняются на малый угол (распределение $d\Omega/d\theta, \frac{m\mu^2}{\epsilon^3} \ll \Omega \ll \frac{\mu}{\epsilon}$),

а их энергия $\sim \epsilon$. Угловое распределение родившихся частиц при $\epsilon \sim \mu$ является плавным, а при $\epsilon \gg \mu$ их спектр $d\omega/\omega$ ($\omega = \epsilon_+ + \epsilon_-$), так что при $\epsilon \pm \sim \mu$ их угловое распределение плавное, а при $\epsilon \pm \gg \mu$ вытянуто

($\Delta^2 \sim 4\mu^2$) в направлении той начальной частицы, энергию которой получает пара. Тормозные диаграммы дают равные вклады $\sigma_I^{(S_f)} = \sigma_{II}^{(S_f)}$ для каждой из электронных линий

$$d\sigma_I^{(S_f)} = \frac{\alpha^4}{9\pi\mu^2} dx \beta \psi^{(S_f)} \left[\ln \left(\frac{4\mu^2}{m^2 x} \right) \ln \left(\frac{(2\epsilon^4 x)^{3/2}}{m\mu^3} \right) + \frac{1}{3} \ln \left(\frac{4\epsilon^2 m \delta x^5}{(2\mu)^{10}} \right) \right] |F(4\mu/x)|^2 \quad (5)$$

где $\psi^{(1/2)} = 1 + x/2$, $\psi^{(0)} = \frac{1}{4}(1-x)$, $F(\Delta^2)$ – электромагнитный формфактор родившихся частиц (для мюонов $F=1$). В случае образования адронов взаимодействие в конечном состоянии хорошо известно из опытов по аннигиляции в однофотонном канале. Для пар $\pi^+\pi^-$ (K^+K^-) в сечениях $\sigma_{I,II}^{(S_f)}$ доминирует тормозное излучение $S(\psi)$ мезона (вклад его в сечение в 6-7 (3-4) раза превышает сечение для точечных частиц). Падающий как $1/\epsilon^2$ вклад аннигиляционных диаграмм σ_A (для e^+e^- соударений) рассматривался в / 6 /, его следует учитывать только недалеко от порога. Полные сечения $\sigma_I^{(S_f)} = \sigma_{II}^{(S_f)}$

и σ_A (с учётом членов $\sim 1/\epsilon$) приведены на рис.

Видно, что $\sigma_I + \sigma_{II}$ составляют заметную часть от полного сечения процесса ($\sigma = \sigma_I + \sigma_{II} + \sigma_{III} + \sigma_A$) при $\epsilon \lesssim 1$ Гэв и относительный вклад этих диаграмм падает по мере роста ϵ .

Распределение родившихся адронов определяется свойствами распада $S(\psi)$ – мезона и его движением. При $\epsilon \sim m_S$

S – мезон имеет малую скорость, а при $\epsilon \gg m_S$ S – мезон движется в направлении родившего его электрона, с угловым и энергетическим распределением

$$\frac{dE_S d\theta_S^2}{\epsilon^3 [\theta_S^2 + \epsilon^{-3} m_S^2 (\epsilon_{S\max} - \epsilon_S + \epsilon \frac{m^2}{m_S^2})]^2}$$

где $\epsilon_{S\max} = \epsilon + \frac{m_S^2}{4\epsilon}$. Тормозной электрон теряет почти всю энергию (распределение $dE_b/E_b + \frac{m^2}{m_S^2} \epsilon$), а элек-

tron отдачи теряет энергию $\sim \frac{mg^2}{\epsilon}$ и вылетает в угол

$$\sim \frac{mg}{\epsilon}.$$

Заметим, что проводя анализ распределения рожденных частиц можно отождествить процесс и без наблюдения конечных электронов, как это было сделано в / 4 /.

На Киевской конференции было сообщено, что в опытах на встречных e^+e^- -пучках в Новосибирске и Фраскати при $0,6 \text{ ГэВ} < \epsilon < 1 \text{ ГэВ}$ наблюдалась события, в которых импульсы конечных частиц неколлинеарны и угол между плоскостями рождения (угол некомпланарности) $\varphi_{nc} > 5 \div 20^\circ$. Эти события интерпретируются как множественное рождение частиц / 7, 8 /. Полное сечение для этих событий $\sigma_m \sim 10^{-32} \text{ см}^2$, их источником могли бы быть процессы электророждения. Однако из полученных результатов видно (см. рис.), что полные сечения электророждения в несколько раз меньше, чем это требуется для объяснения эксперимента, не говоря уже о том, что сечение на большие углы для некомпланарных событий существенно меньше полного и содержит только первую степень ϵ / 5 /. Остается обсудить процессы, имитирующие рождение адронов. Прежде всего это процесс электророждения e^+e^- пар на большие углы, для которого сечение имитации (т.е. сечение при реальных углах, энергетических порогах регистрации и т.д., пересчитанное в полное по аналогии с экспериментальным) $\sigma_{e^+e^-} \sim 10^{-32} \text{ см}^2 / 5 /$. Сечение процесса электророждения двух e^+e^- пар, когда две или более из частиц имеют энергию $\epsilon_1 > \epsilon_0$ и вылетают под большим углом не превышает $(m/\epsilon_0)^2 \sigma_{tot}$ (в области основного вклада все поперечные импульсы $\leq m$). По этой причине сечение имитации $\sigma_{2(e^+e^-)} < 10^{-34} \text{ см}^2$, что отвергает объяснение, предложенное в работе / 9 /, где часть наблюдаемых событий приписана этому процессу.

Авторы благодарны А.Онучину за обсуждение экспериментальной ситуации и С.Эйдельману за помощь в численных вычислениях.

Л и т е р а т у р а

1. В.Е.Балакин, В.М.Буднев, И.Ф.Гинзбург. Киевская конференция (август, 1970). Письма в ЖЭТФ, 11, 559, 1970.
2. S.Brodsky,T.Kinoshita,H.Terasawa. Киевская конференция (август 1970). Phys.Rev.Lett. 25, 972, 1970.
3. V.N.Baier,V.S.Fadin. Киевская конференция (август 1970). Lett.Nuovo Cimento 5, № 10, 1971.
4. V.Balakin,A.Bukin,E.Pachtusova et al.Phys.Lett. (in print)
5. V.N.Baier,V.S.Fadin.Phys.Lett.(in print)
6. В.Н.Байер, В.А.Хозе, В.С.Фадин. ЖЭТФ 50, 156, 1966 г.
7. В.Е.Балакин, Г.И.Будкер, И.Б.Вассерман и др. Киевская конференция (август 1970).
8. B.Bartoly et al,G.Barbellini et al, Киевская конференция (август 1970).
9. J.Sakurai.Acta Phys.Hung. (in print).

Ответственный за выпуск В.С.Фадин

Подписано к печати 4. II. 1971 г.

Усл. 0,3 печ.л., тираж 250 экз.

Заказ №16 , бесплатно. ПРЕПРИНТ

Отпечатано на ротапринте в ИЯФ СО АН СССР, ив.